

MOLEKULARNI MEHANIZAM GENERIRANJA HELICITETA U DIOBENOM VRETENU

Lovro Vrček

Mentor: izv. prof. dr. sc. Nenad Pavin

Prirodoslovno-matematički
fakultet u Zagrebu
Fizički odsjek

25. Siječnja 2018.

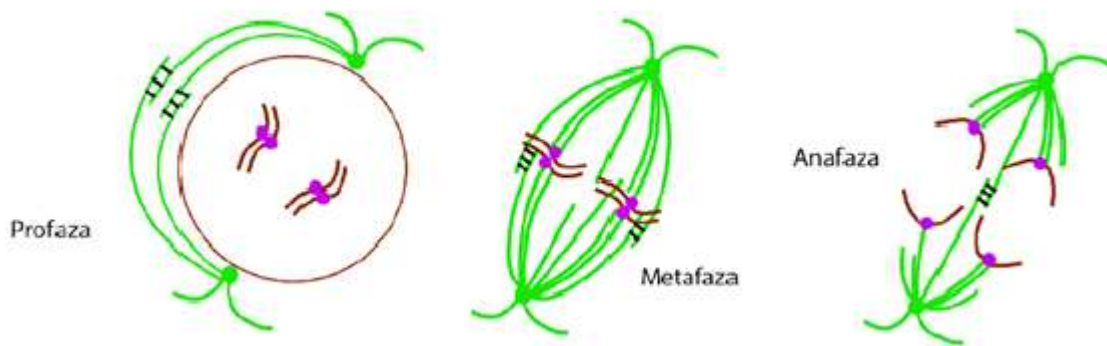
MITOZA

Stvaranje diobenog vretena

Razdvajanje u dvije nove jezgre (kćeri)

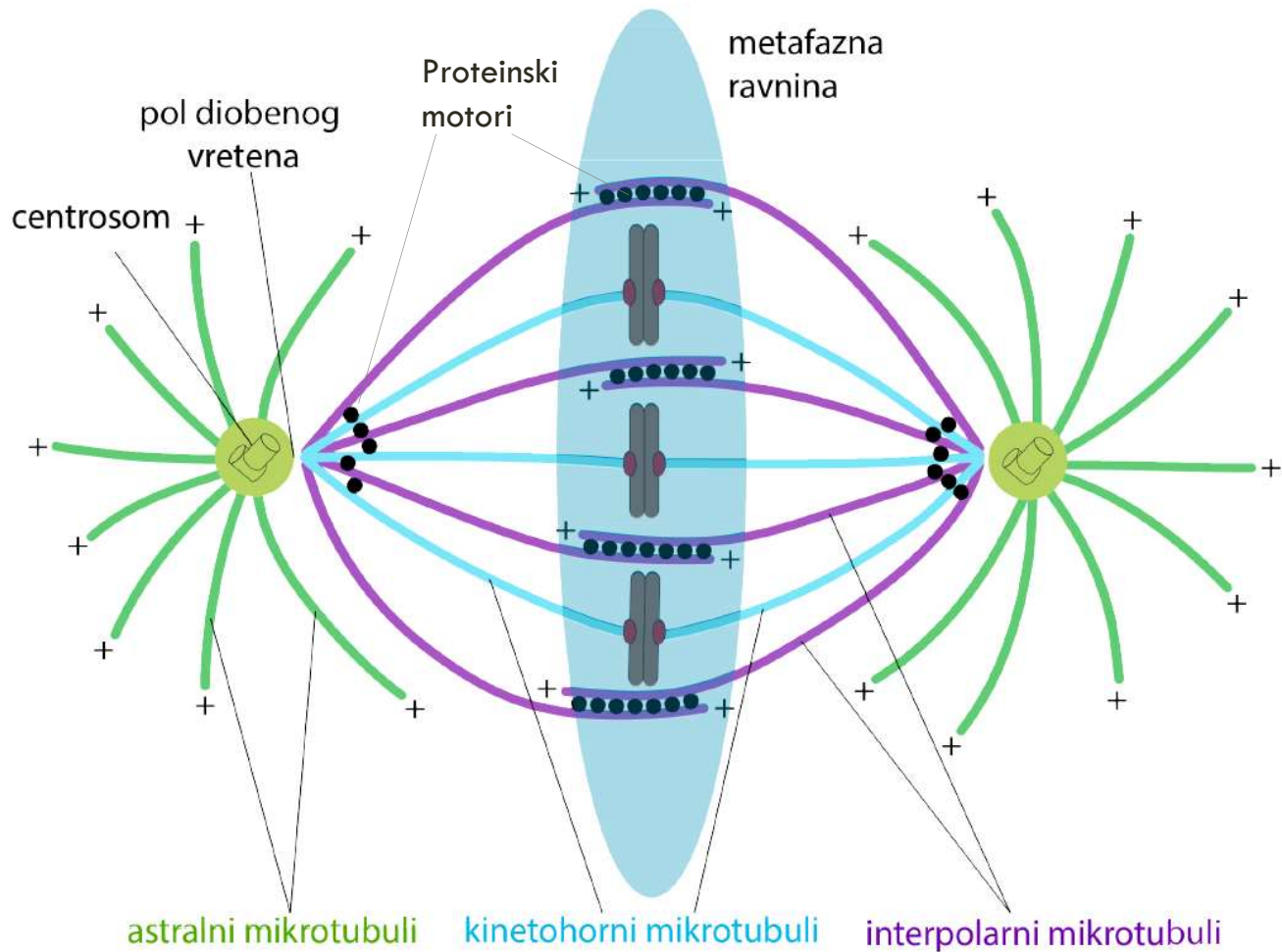
Mogući poremećaji:

- Tri ili više stanica kćeri
- Apoptoza
- Mutacije



Alberts, et al., Molecular Biology of the Cell

DIOBENO VRETENO



PROTEINSKI MOTORI

Biološki strojevi

Ključni za kretanje u živim stanicama

Vrste

- Kinezin, miozin, dinein

Veza sila i brzine motora:

$$v = v_0 \left(1 - \frac{\mathbf{f} \cdot \hat{\mathbf{r}}}{f_0} \right)$$

Brzina bez tereta Granična sila mirovanja

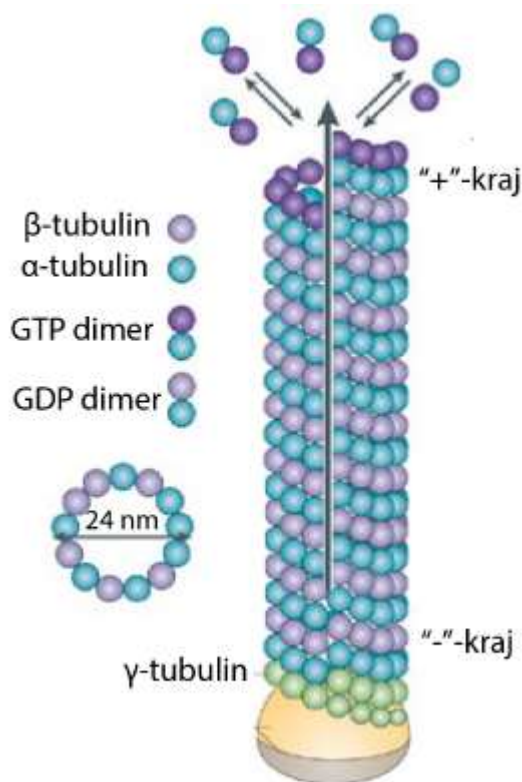
Hidrolizom ATP-a pretvaraju kemijsku energiju u mehaničku



The Inner Life of the cell, Harvard University

Izraz koji nam omogućuje da povežemo brzinu kojom se motor kreće po mikrotubulu i silu koja na njega djeluje

GRAĐA I SVOJSTVA MIKROTUBULA

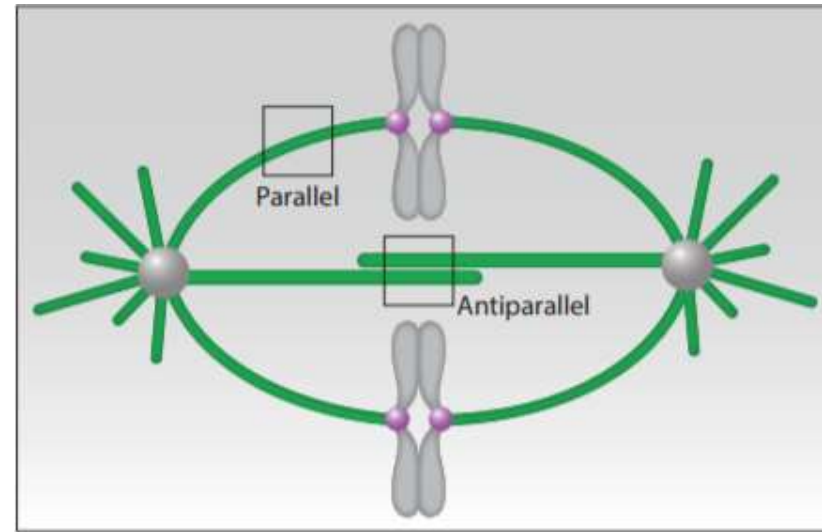


Rochlin, et al., Polymerizing microtubules activate site-directed F-actin assembly in nerve growth cones. Mol. Biol. Cell

Polarni filamenti s definiranim **plus** i **minus** smjerom

Formiraju paralelne i antiparalelne svežnjeve

Elastična svojstva – savijanje i uvijanje



OTKRIĆE MOSTNOG SVEŽNJA

Youngov modul elastičnosti:

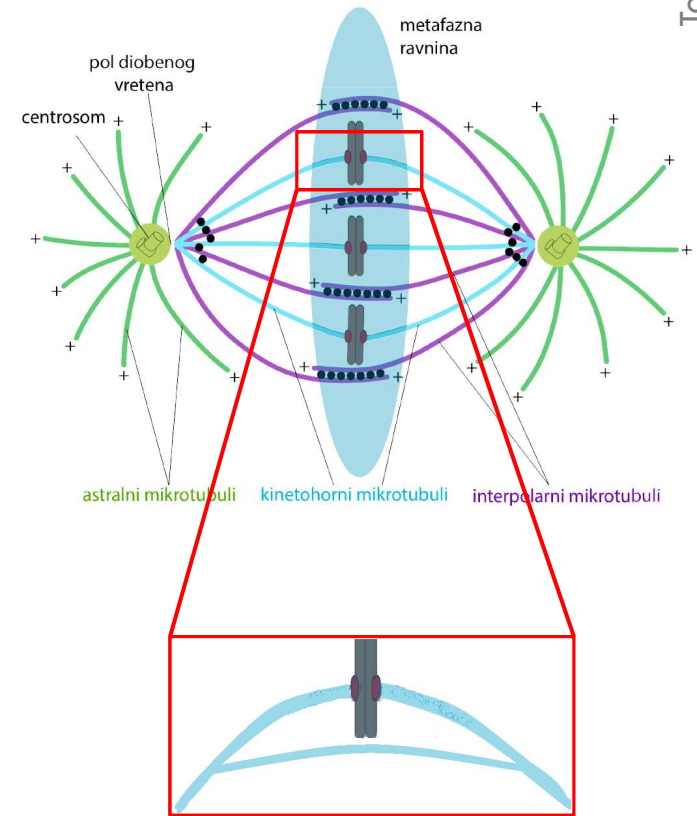
- Za kromatin sedam redova veličine manji nego za mikrotubule

Pod silama tenzije kinetohorno vlakno bilo bi sprešano

Uvođenje mostnog svežnja



Tolic & Pavin, Bridging the gap between sister kinetochores. Cell Cycle



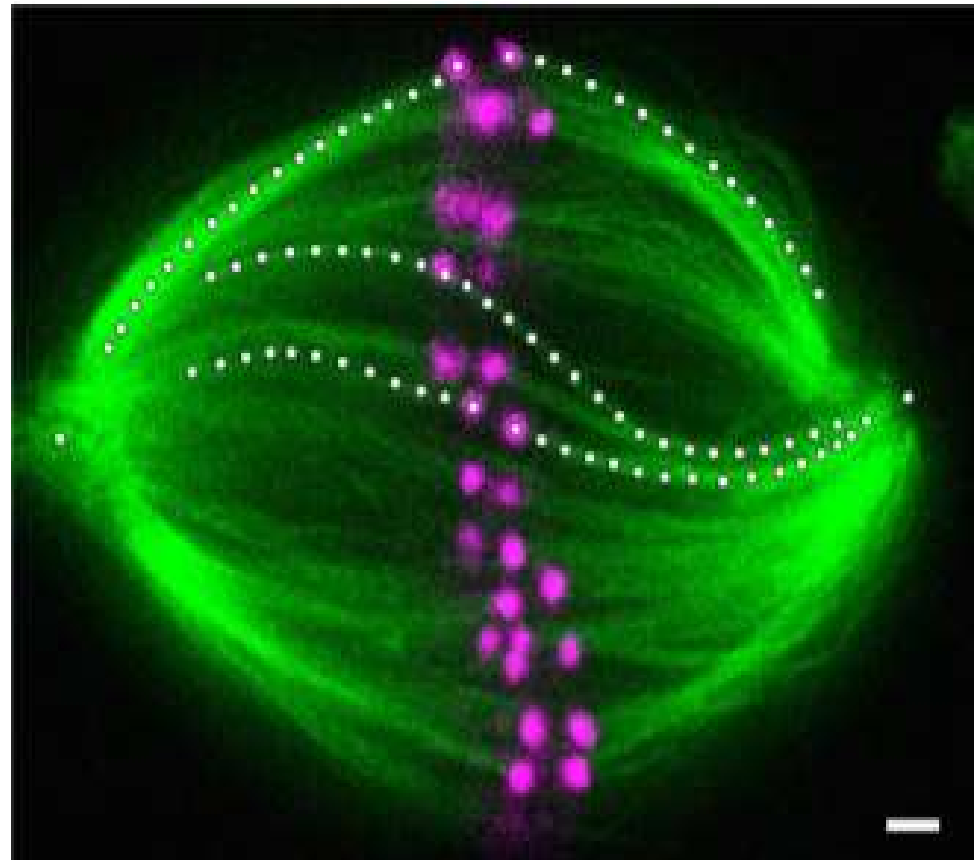
RASPORED MIKROTUBULA U VRETENU (1)

C i S oblici

Nastaju djelovanjem sila na polovima

Rezultat elastičnih svojstava mikrotubula

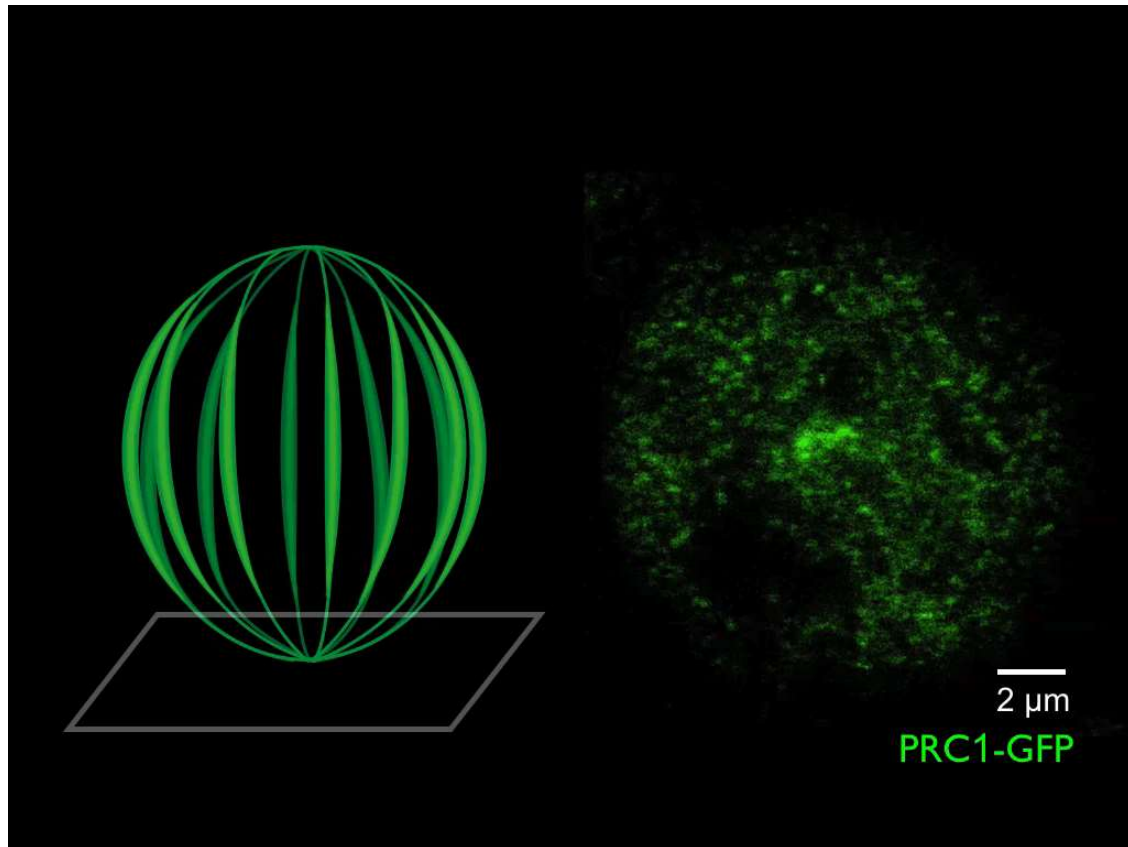
Zeleno – mikrotubuli
Ljubičasto - kinetohore



Novak, et al., The mitotic spindle is chiral due to torques generated by motor proteins

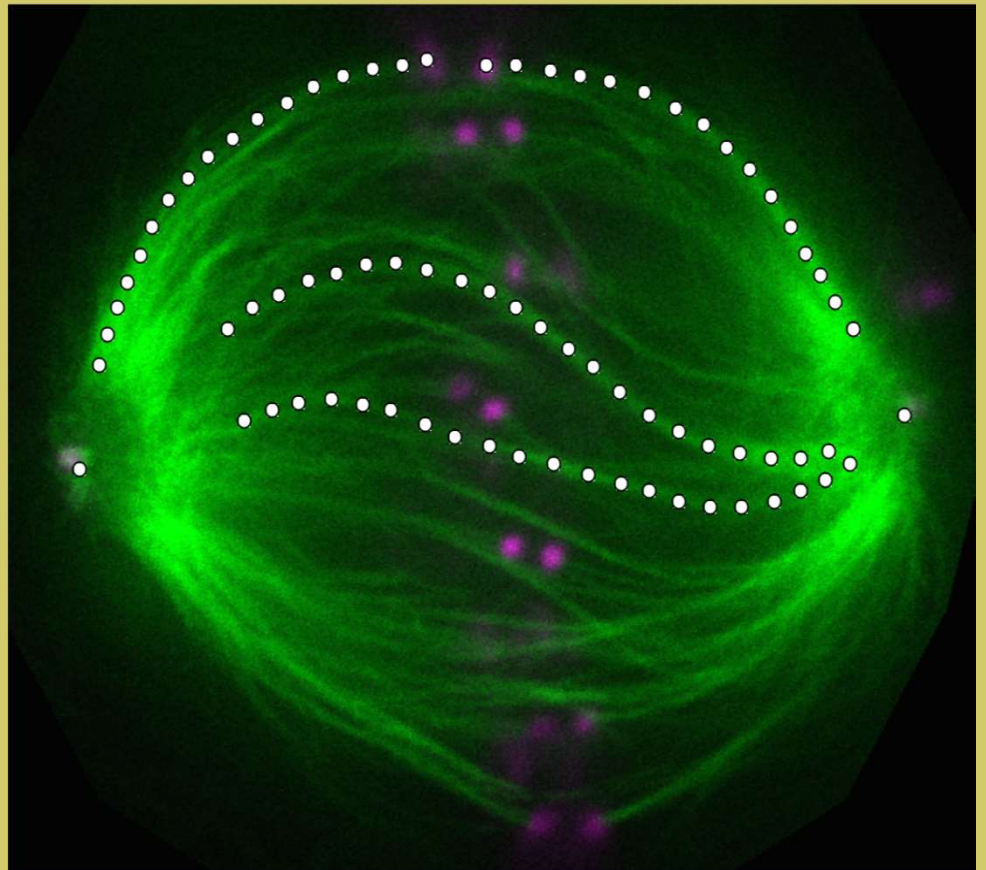
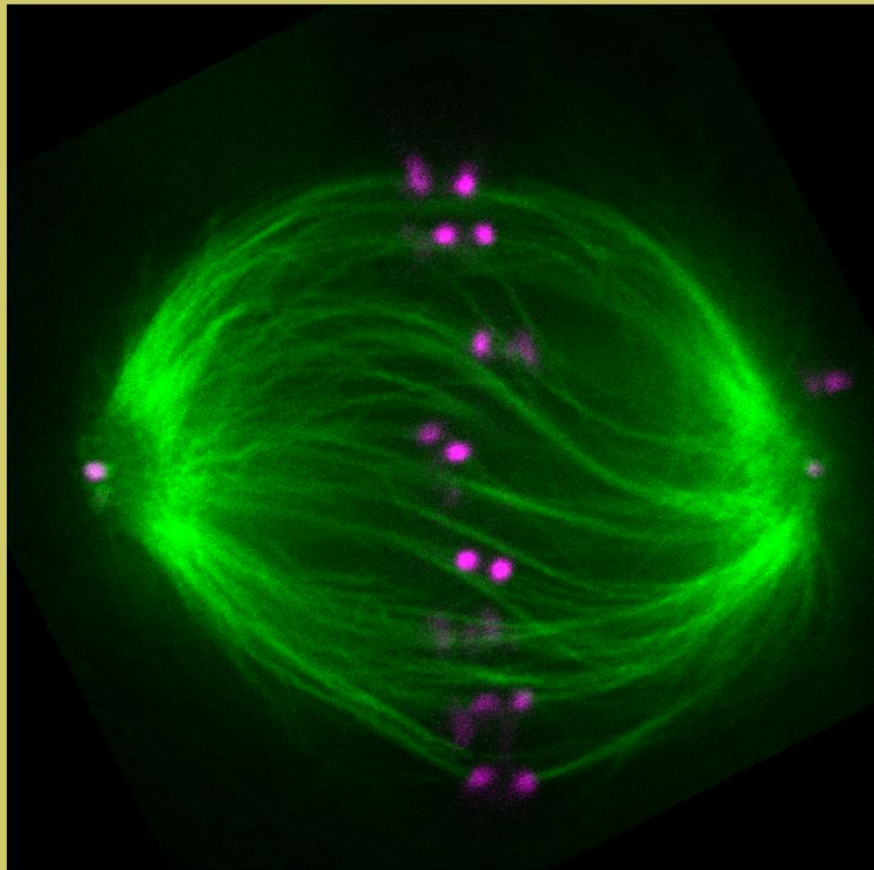
1 μ m

RASPORED MIKROTUBULA U VRETENU (2)



Ukazuje na
postojanje **lijevog**
helicitet – potrebno
proširiti prijašnje
modele

Pretpostavka:
Proteinski motori
generiraju moment
u smjeru osi
vretena



Novak, et al., The mitotic spindle is chiral due to torques generated by motor proteins

FORMIRANJE C I S OBLIKA MIKROTUBULA

Model 1

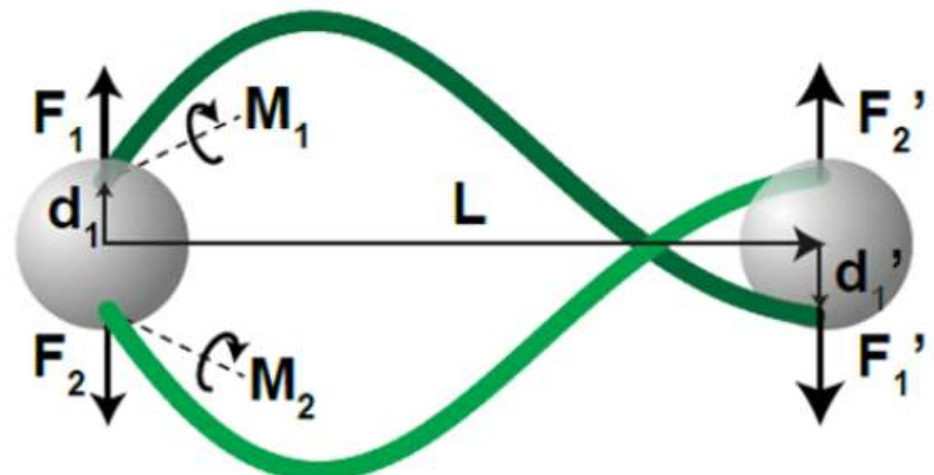
(Novak, et al., The mitotic spindle is chiral due to torques generated by motor proteins)

2 POLA I 2 MIKROTUBULA

Polovi (centromeri) - kao kugle polumjera d , središta udaljenih za L

Mikrotubuli – elastični štapovi

Ravnoteža sila i momenata



Novak, et al., The mitotic spindle is chiral due to torques generated by motor proteins

SET JEDNADŽBI MODELA

$$\sum_i \mathbf{F}_i = 0,$$

Za lijevi pol :

$$\sum_i (\mathbf{M}_i + \mathbf{d}_i \times \mathbf{F}_i) = 0$$

Za pojedini svežanj

$$\mathbf{F}_i + \mathbf{F}'_i = 0,$$

mikrotubula:

$$\mathbf{M}_i + \mathbf{M}'_i + \mathbf{d}_i \times \mathbf{F}_i + (\mathbf{L} + \mathbf{d}'_i) \times \mathbf{F}'_i = 0$$

Rotacijska
simetrija:

$$\mathbf{F}_{1\parallel} = \mathbf{F}_{2\parallel}, \quad \mathbf{F}_{1\perp} = -\mathbf{F}_{2\perp},$$

$$\mathbf{M}_{1\parallel} = \mathbf{M}_{2\parallel}, \quad \mathbf{M}_{1\perp} = -\mathbf{M}_{2\perp}$$

Ograničenja: $|\mathbf{M}_i| = |\mathbf{M}'_i| \quad \mathbf{M}_{i\parallel} = -\mathbf{M}'_{i\parallel} \quad \mathbf{d} \cdot \mathbf{M}_{i\perp} = \mathbf{d}' \cdot \mathbf{M}'_{i\perp} = 0$

ELASTIČNA SVOJSTVA MIKROTUBULA

Elastično pri savijanju – κ

Krutost na uvijanje – τ

Put duž štapa – s

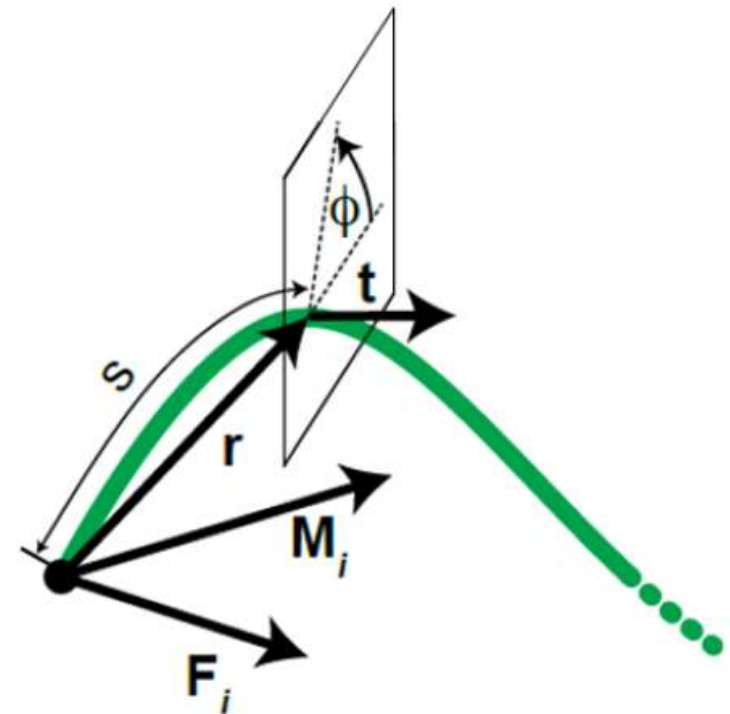
Radij vektor – $\mathbf{r}(s)$

Tangencijalni vektor – $\mathbf{t} = d\mathbf{r}/ds$

Kut torzije – $\phi(s)$

Statička Kirchoffova jednadžba :

$$\kappa \mathbf{t} \times \frac{d\mathbf{t}}{ds} + \tau \frac{d\phi}{ds} \mathbf{t} = \mathbf{r} \times \mathbf{F}_i - \mathbf{M}_i$$



Novak, et al., The mitotic spindle is chiral due to torques generated by motor proteins

ANALITIČKO RJEŠENJE

$$-\tau \frac{d\phi}{dx} = M_{ix}$$

$$-\kappa \frac{d^2 z}{dx^2} - M_{ix} \frac{dy}{dx} = F_{ix}z - F_{iz}x - M_{iy}$$

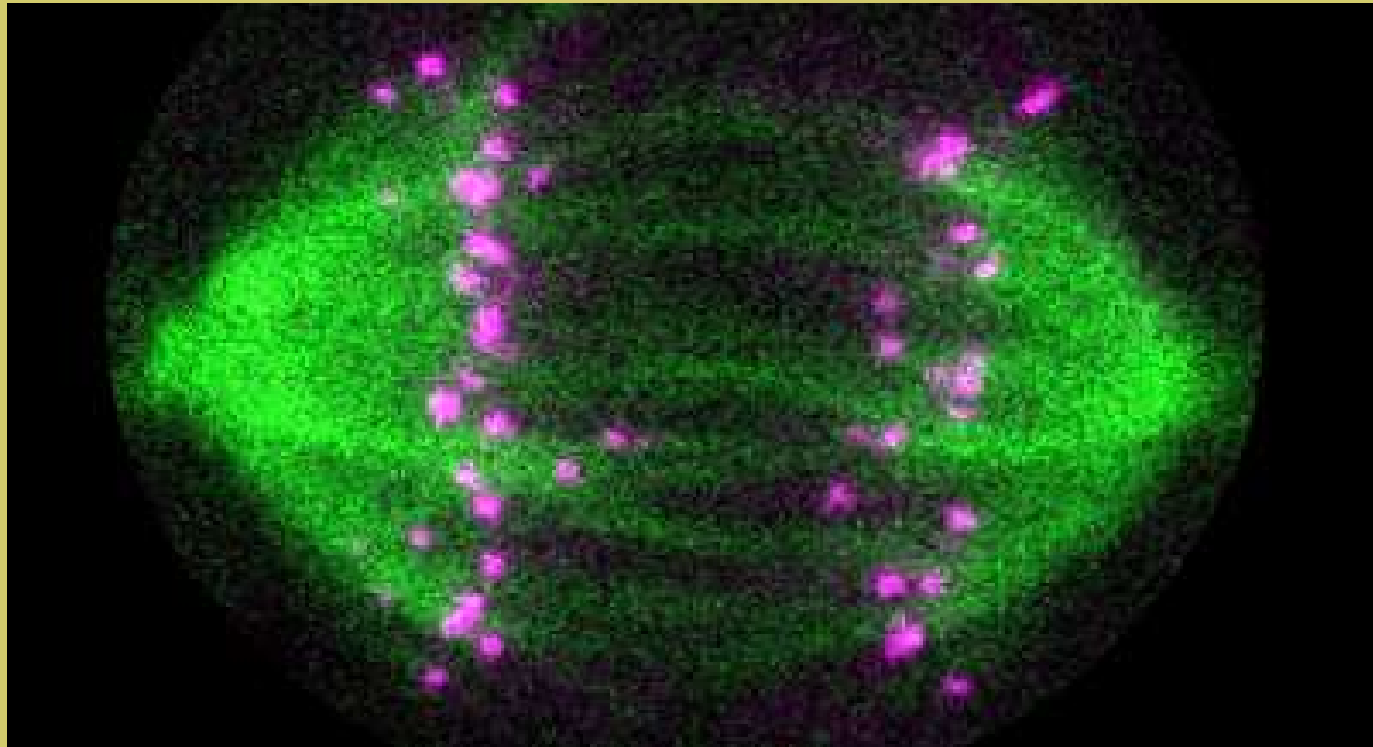
$$\kappa \frac{d^2 y}{dx^2} - M_{ix} \frac{dz}{dx} = F_{iy}x - F_{ix} - M_{iz}$$

Koristeći aproksimaciju
malih kuteva dobivamo
sustav diferencijalnih
jednadžbi

RJEŠENJA:

$$y_i(x) = -A_i \kappa \cos\left(\frac{M_{ix}}{\kappa}x\right) + B_i \kappa \sin\left(\frac{M_{ix}}{\kappa}x\right) + \frac{F_{iz}}{2M_{ix}}x^2 + M_{iy}x + C_i$$

$$z_i(x) = A_i \sin\left(\frac{M_{ix}}{\kappa}x\right) + B_i \cos\left(\frac{M_{ix}}{\kappa}x\right) + \left(\kappa \frac{F_{iz}}{M_{ix}^2} + \frac{M_{iz}}{M_{ix}} \right) + D_i$$



Vukušić, et al., Microtubules sliding within the Bridging Fiber Pushes Kinetochores Fibers Apart to Segregate Chromosomes

UTJECAJ MOTORA NA RAZDVAJANJE KINETOHORA

Model 2

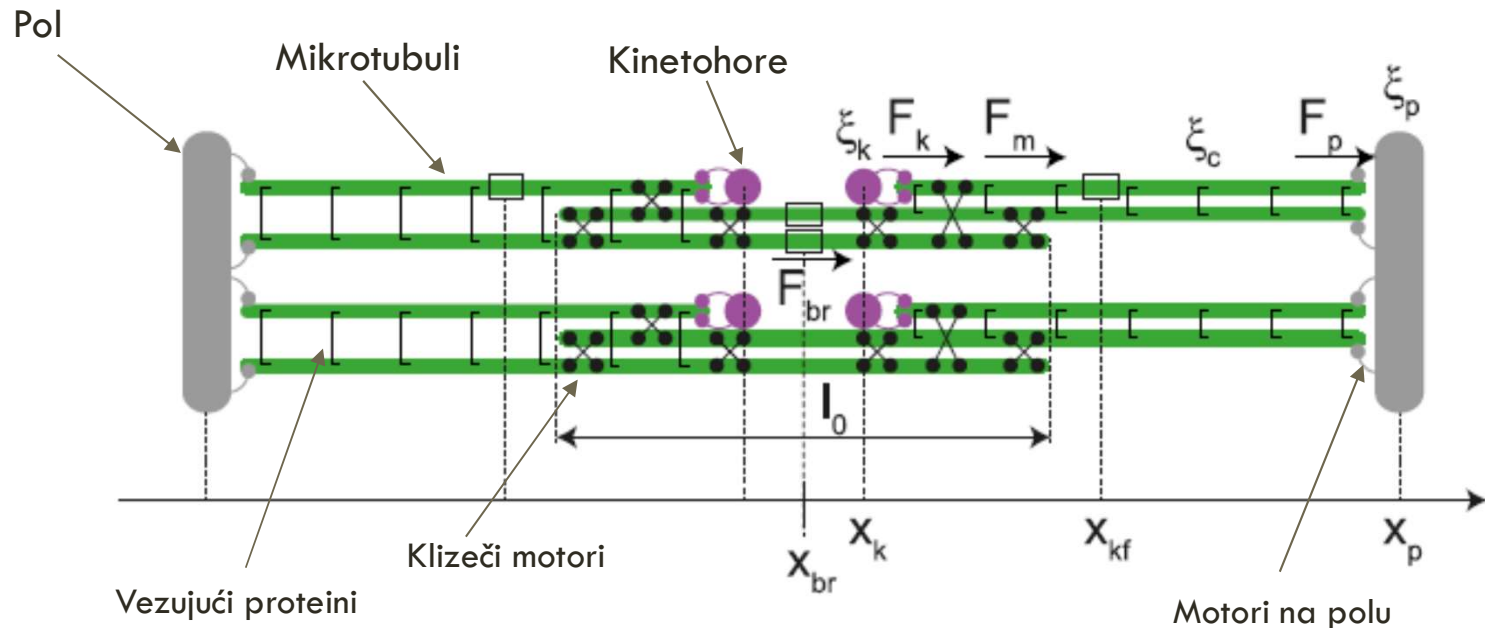
(Vukušić, et al., Microtubules sliding within the Bridging Fiber Pushes Kinetochores Fibers Apart to Segregate Chromosomes)

SKICA MODELA

1D model anafaze – značajan utjecaj motora:

- Odvajanje kinetohora i putovanje kromatida prema polovima

Putovanje kromatida – klizanje mikrotubula u mostnom svežnju



Vukušić, et al., Microtubules sliding within the
Bridging Fiber Pushes Kinetochores Fibers
Apart to Segregate Chromosomes

OPIS SUSTAVA

Sustav se opisuje „force-velocity” relacijama

Npr. pomicanje kinetohora:

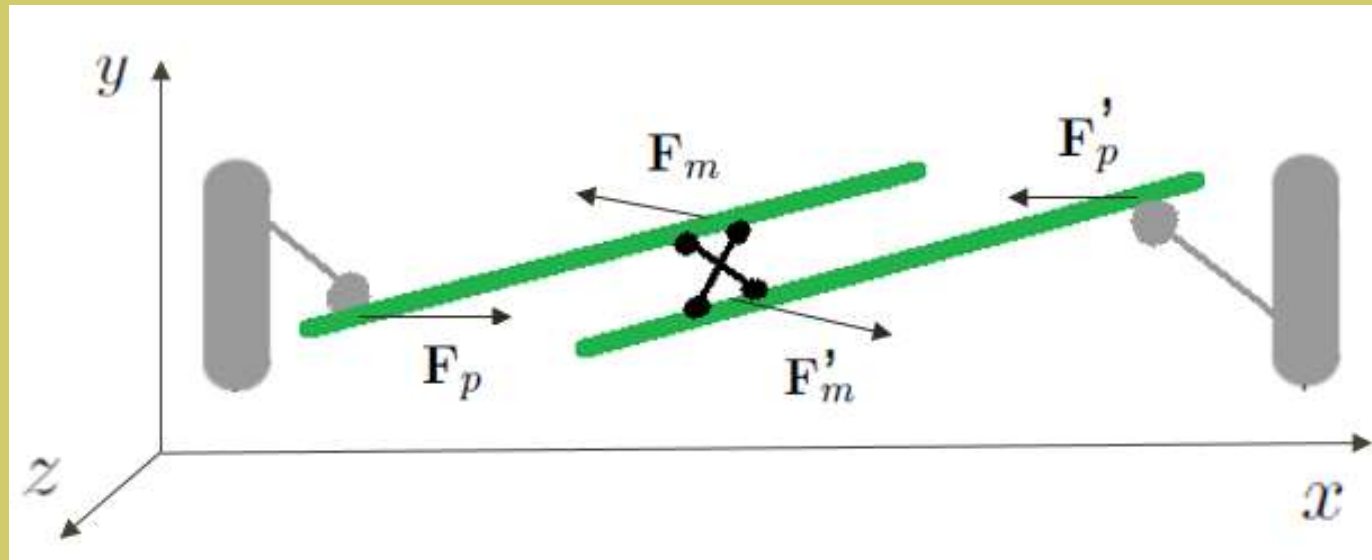
$$\chi_k \frac{dx_k^\pm}{dt} = F_k^\pm,$$

$$F_k^\pm = f_k \left(\pm 1 - \frac{v_k^\pm - v_{kf}^\pm}{v_{k0}} \right)$$

χ_k - koeficijent trenja
kromosoma

Prvi model koji u razmatranje odvajanja kinetohora
uključuje i mostno vlakno

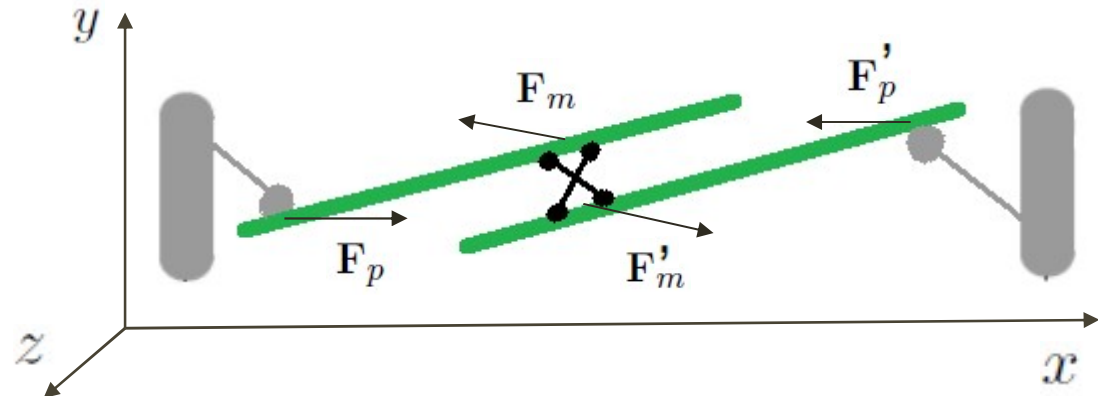
U odnosu na druge, slične modele, ovaj najbolje opisuje
eksperiment rezanja mostnog i K-vlakna



UTJECAJ PROTEINSKIH MOTORA NA GENERIRANJE HELICITETA

Model 3

SKICA MODELA



Sustav se sastoji od 2 pola, 2 mikrotubula, po jednim motorom na svakom polu i jednim motorom u regiji preklapanja

Razmatramo sve tri dimenzije

Analogno prethodnom slučaju, koristimo relaciju između sila i brzina za opisivanje sustava:

$$F_p = f_{p0} \left(1 - \frac{v_p}{v_{p0}} \right), \quad F_m = f_{m0} \left(1 - \frac{v_m}{v_{m0}} \right)$$

p – pol
m – motor

JEDNADŽBE RAVNOTEŽE

Sile:

$$\chi_c \frac{x_m - x_p}{dt} = F_{m,x} - F_{p,x}$$

$$\chi_c \frac{y_m - y_p}{dt} = F_{m,y} - F_{p,y}$$

$$F_{m,z} = F_{p,z}$$

χ_c - Koeficijent trenja
proteinskog motora u regiji
preklopa mikrotubula

Momenti:

$$\eta \frac{d\phi}{dt} = (\mathbf{r}_p \times \mathbf{F}_p)_x - (\mathbf{r}_m \times \mathbf{F}_m)_x$$

$$(\mathbf{r}_p \times \mathbf{F}_p)_y = (\mathbf{r}_m \times \mathbf{F}_m)_y,$$

$$\eta \frac{d\theta}{dt} = (\mathbf{r}_p \times \mathbf{F}_p)_z - (\mathbf{r}_m \times \mathbf{F}_m)_z$$

η - Koeficijent trenja pri
uvijanju mikrotubula

IDUĆI KORAK...

Ono što nas najviše zanima u prošlom jest promjena kuta ϕ

Ona nastaje djelovanjem momenta u x smjeru i označava generiranje heliciteta

Iduće što bi bilo potrebno napraviti jest riješiti ovaj sustav jednadžbi i pomoću staticke Kirchoffove jednadžbe naći analitičke izraze za oblike mikrotubula u prostoru

Izvan dosega ovog seminara...

ZAKLJUČAK

Dioba stanice promatra se već se desetljećima
I dalje goruće područje s mnogo nepoznanica
Ukazali na kompleksne oblike koji nastaju prilikom diobe
stanice
Predložili model koji opisuje način na koji molekularni motori
generiraju helicitet u diobenom vretenu
Potpuna razrada i poopćenje modela su izvan dosega ovog
seminara

Ostaje otvoreno pitanje

ZAHVALE



Nenad Pavin
PMF, Fizički odsjek



Ivana Ban,
PMF, Fizički odsjek



Maja Novak
PMF, Fizički odsjek



Agneza Bosilj
PMF, Fizički odsjek



Marcel Prelogović
PMF, Fizički odsjek